

徳島大学大学院 学生会員○岡部 健士

鴻池組勤務 堀谷 昭

徳島大学 正会員工博 杉尾捨三郎

1. 概要：人工粗度の抵抗法則に関する実験的研究は古くから行なわれているが、用いられた粗度要素は比較的小さい。それゆえに流れに与える影響は穏やかで、水深基面の決定にもその高さはさほど大きな問題とはならなかった。本研究では、 $4.5m \times 4.5m$ という大型の柵を用いた実験を行ない、大型柵粗度の水深基面の決定、および抵抗法則に関して検討した。

2. 実験：本実験に使用した水路は、長さ $12m$ 、幅 $30cm$ 、深さ $25cm$ の矩形断面をもつ可変勾配の鋼製水路である。柵の中心間隔を $10cm$ 、 $20cm$ 、 $40cm$ 、 $80cm$ の4種類に、流量を 2L/s から 18L/s まで 2L/s づつ増加させて9種類に、水路勾配を $1/100$ 、 $1/200$ 、 $1/400$ の3種類に、それぞれ変化させて合計108種類の流れを作り、代表点の水深および流速分布の測定を行なった。水深の測定には $0.1cm$ 読みのポイントゲージを用い、流速分布の実測には口径 $1mm$ の土研式ビト一管を用いた。

3. 実験資料の整理：流れは完全な等流とはならなかつたので、諸値の計算に使用する水深は、全水路延長の中央付近の水深で代用することにし、水路勾配の代りにエネルギー勾配を用いた。また、水路側壁は鋼板のままで実験したり、普通の径深 R_b の代りに、Einstein考案の“側壁の影響を除いた径深 R_b' を用いた。すなわち、 $R_b' = R_b [1 - 2(\frac{V_m}{R_b})^{3/2}]$ とし、 $R_b = 0.01$ とした。ここに、 R_b 、 V_m 、 R_b' は、それぞれ水深、平均流速、側壁の粗度係数、エネルギー勾配、水路幅である。

4. 実験結果および考察

(a) 流速分布図：図-1は流速分布図の代表例である。測線は、相隣り合う2個の柵の中央点に立つ鉛直線である(図-2参照)。図-1によれば、 $L=20cm$ 、 $40cm$ の場合には、柵頂高付近に極めて明確な不連続面が存在していることが認められる。図-3は $L=40cm$ における流れ方向の流速の変化を示すために、図-2に示す3個の測線上の流速分布図をもとにして、等流速図を推定で描いたものである。

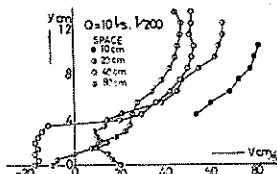


図-1 流速分布図

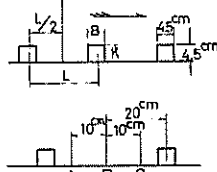
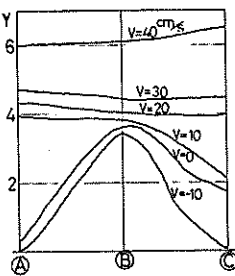


図-2 測線

図-3 等流速図($L=40cm$)

(b) 対数法則と遮蔽効果：SayreとAlbertsonによれば、人工粗度の抵抗は、 $92\sim98\%$ までが形の抵抗(抗力)である。RajuとGardeの考え方によつて、基面を水路底にとり抗力係数 $C_d = \frac{2L}{K} \cdot \frac{U_m^2}{V_m}$ とし、 $\frac{1}{C_d}$ と R_b/K の関係を検討したのが図-4～図-7である。図より、 $\frac{1}{C_d} = A \log_{10}(R_b/K) + B$ なる関係式が得られる。ここに、A, BはL, Kなどによって定まる定数である。この式と対数型流速公式 $V_m/U_m = 5.75 \log_{10}(R_b/K) + \text{const.}$ を比較して $A = 575 \sqrt{\frac{K}{2L}}$ を得、これと実験値とを比較したのが図-8である。図-8によれば、描点は $R_b/K < 5$ ならば実線にはほぼ一致するが、 $R_b/K > 5$ ならば実線から離れる傾向を表めし、柵相互の遮蔽効果が無視され得る限

界が $b/k = 5$ にあることを示している。計算値が実験に適合するように水深基面の位置を決定し、粗度の幾何学的特性およびその他の要因と基面引き上げ量との関係を発明すれば、問題は対数型流速公式の第二項の定数のみにしぼりれるであろう。足立¹³は、数多くの実験の結果、残粗度を模型と溝型に分け、おのおのに対して別々の公式を与えている。そこで、彼が $5\text{mm} \times 6\text{mm}$ の格子用いて得た公式が本実験にも適用できるか否かを検討した。各配置間隔に対してそれぞれ3~4種の水深基面を仮定してみたが、ここでは最もよく適合していた場合のみの比較図を記載する(図-9~図-12)。ここに、 $L = 80\text{cm}$, 40cm の場合には模型公式と、また $L = 20\text{cm}$, 10cm の場合には溝型公式と比較し、採用した水深基面は図中に記入している。全体として描点群の勾配はよく似ているが、 $L = 40\text{cm}$ の場合と除けば底勾配の影響が大きく、何か他の因子の考慮が必要と思われる。

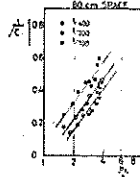
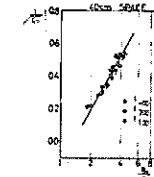
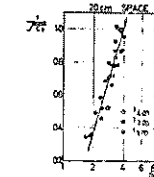
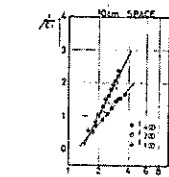
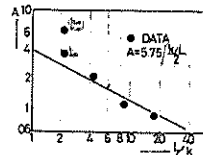
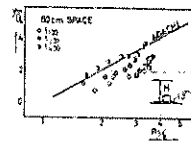
図-4 $K_c \sim R/k$ 図-5 $K_c \sim R/k$ 図-6 $K_c \sim R/k$ 図-7 $K_c \sim R/k$ 図-8 $A \sim b/k$ 

図-9

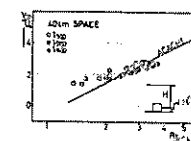


図-10

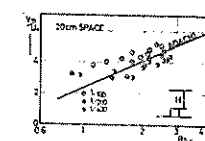


図-11

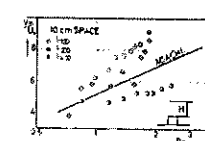


図-12

(C) 抵抗係数 f' とレイルス数 Re ³³:

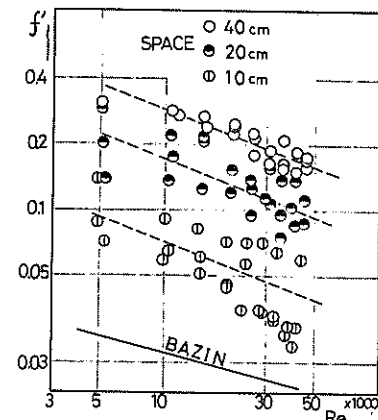
$f' = 28RbT_0/V_m^2$, $Re = RbV_m/\nu$ とし、水深基面を残頂にとつて両者の関係を調べたのが図-13である。基面を下げるごとに点群の勾配はより急になり、かつ配置間隔によって勾配が異なる(図中の実線は Bazin の実験式である)。描点が平行な直線上には並ぶと思われるので、つぎのような無次元の実験式を得た。

$$f' = m \left(\frac{L-B}{k} \right)^{\alpha} \cdot Re^{\beta}$$

この実験の範囲では、 $m = 2.32$, $\alpha = 0.32$, $\beta = -0.38$ となった。なお、 Re の範囲から推定すると、この実験は遷移領域にあると思われる。今後は、さらに実験をつなげ、定数項の信頼度を高めるとともに履歴範囲の指定および他の因子の与える影響などについて検討したいと考える。

5. 参考文献 :

- 1) 足立昭平: 開水路における模型人工粗度の実験的研究; 京大防災研究所年報, 第3号, 昭和34年, PP17~33.
- 2) R.Raju & R.J.Garde : Resistance to Flow over Two-Dimensional Strip Roughness; ASCE, HY3, March 1970, pp.815~834.
- 3) 本間 仁: 標準水理学, PP64~70。 水理学(技術者のための流体力学), PP121~123.

図-13 水深基面を残頂にとった場合の $f' \sim Re$ 図